

1/26

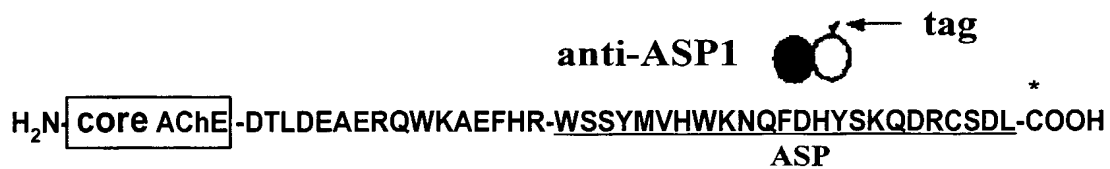


Fig. 1A

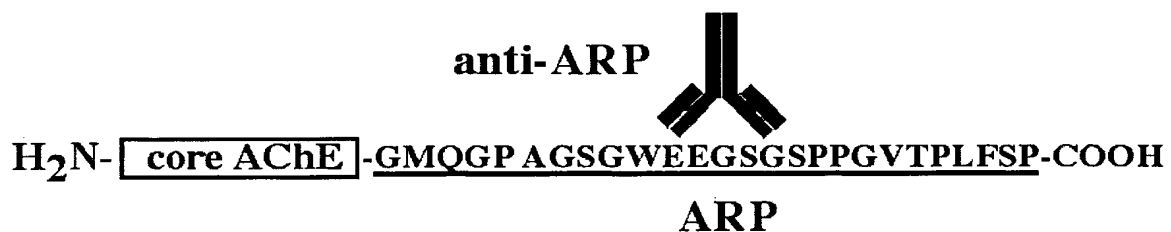


Fig. 1B

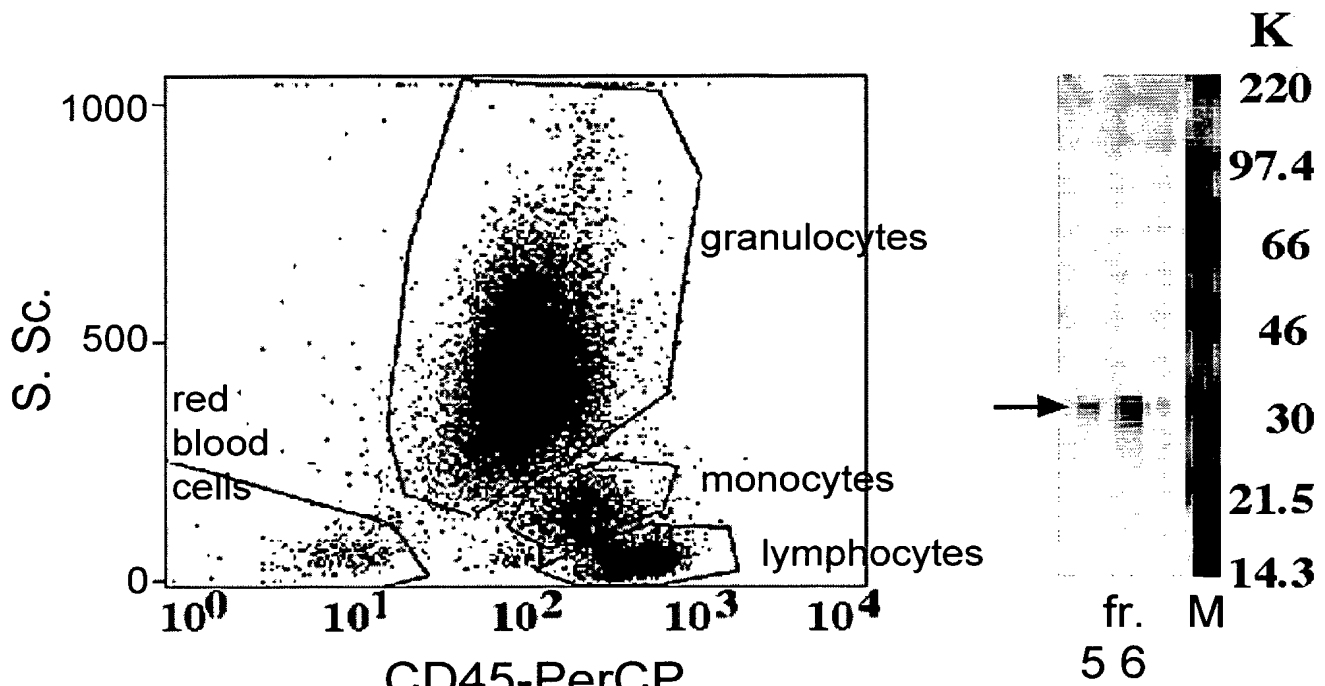


Fig. 1C

Fig. 1D

2/26

Fig. 2A

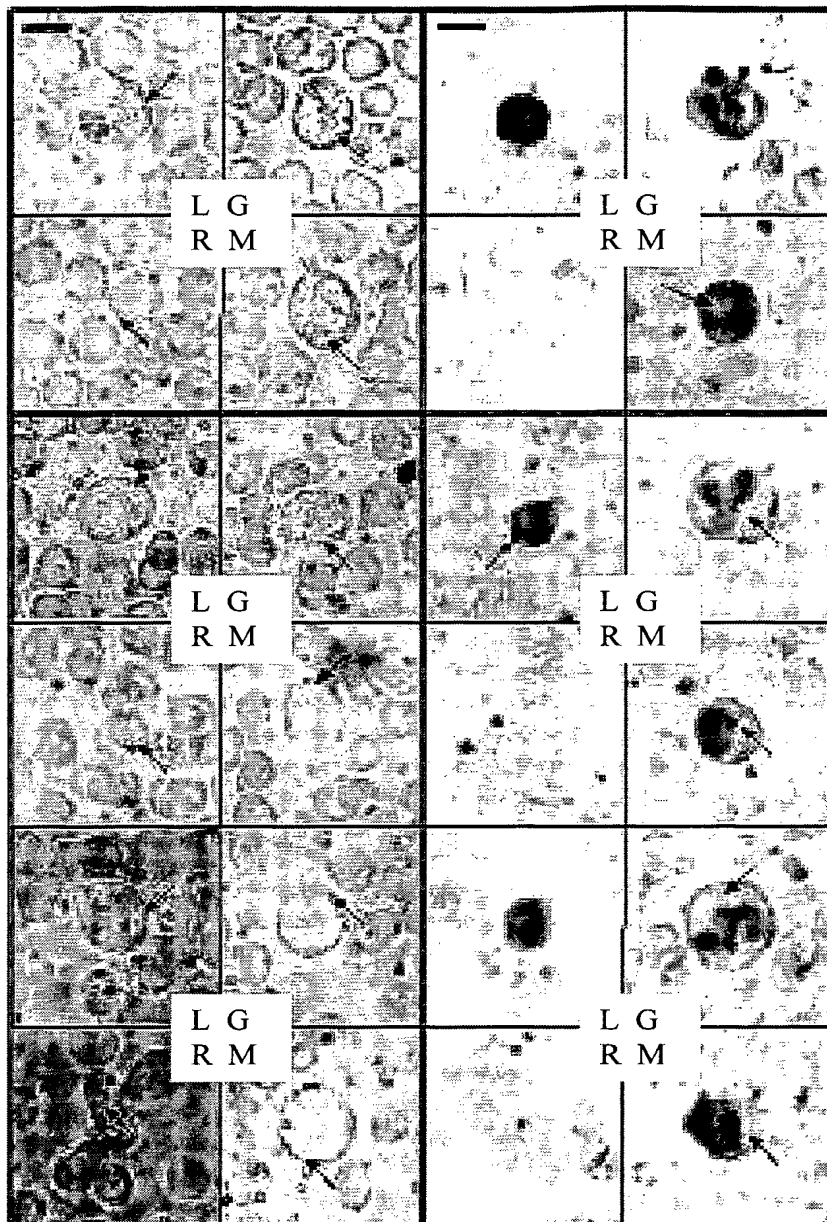


Fig. 2B

C	G	M	L	R	
CB	% pos.	30	20	20	100
	int.	+	++	+	+++
AB	% pos.	60	60	42	100
	int.	++	++	++	+
PPB	% pos.	70	67	12	100
	int.	+++	++	++	+

3/26

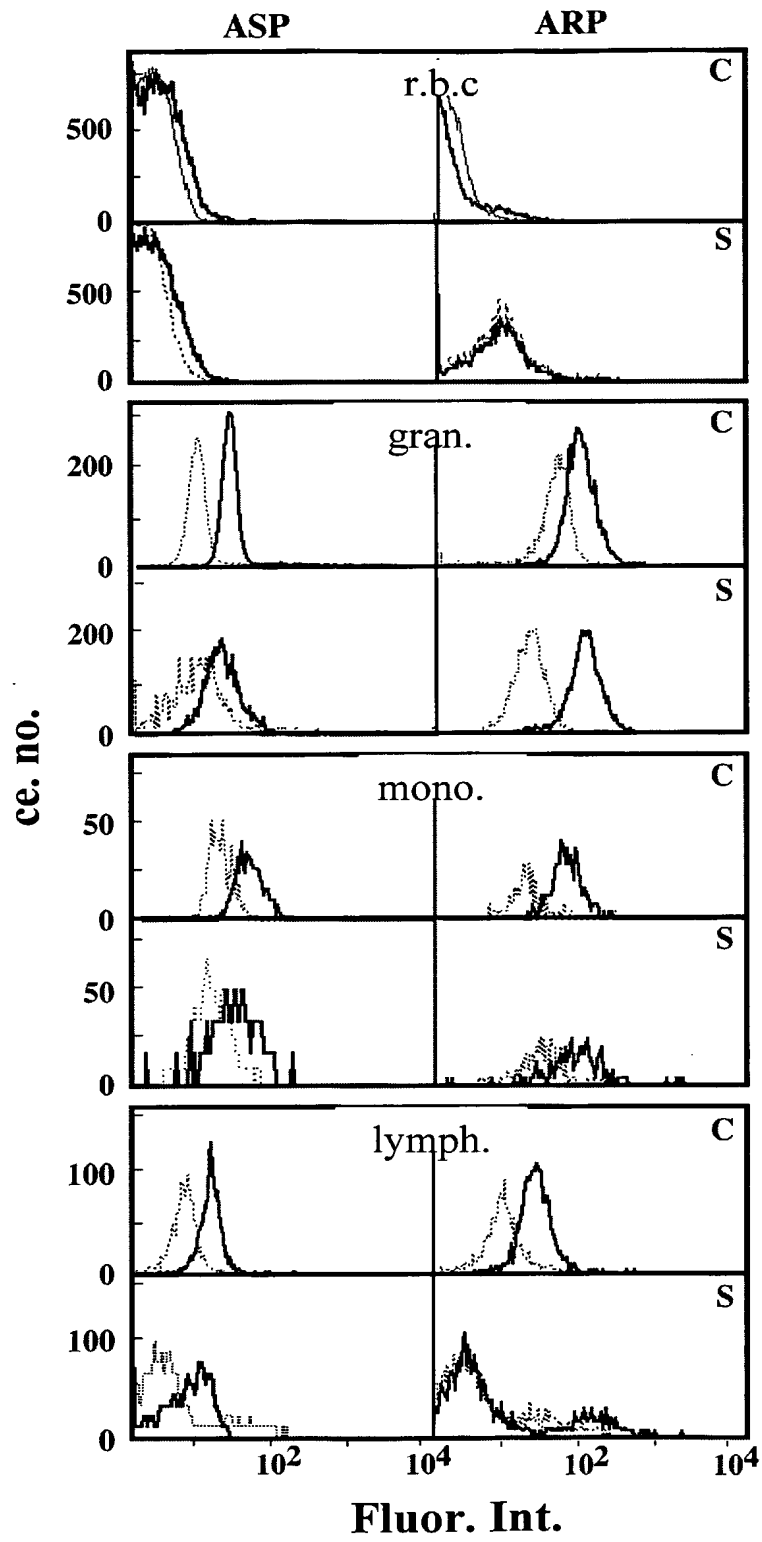


Fig. 3

4/26

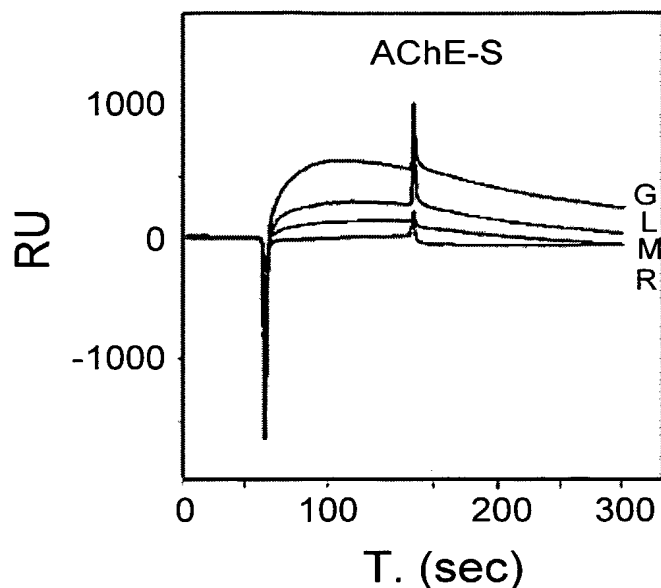


Fig. 4A

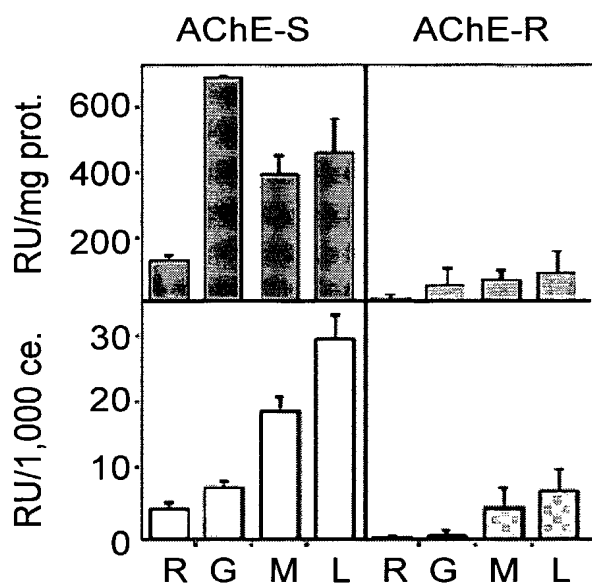


Fig. 4B

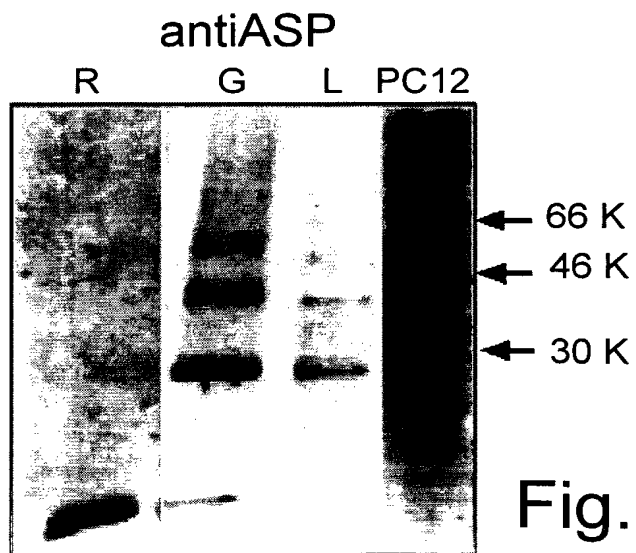


Fig. 4C

5/26

Fig. 5A

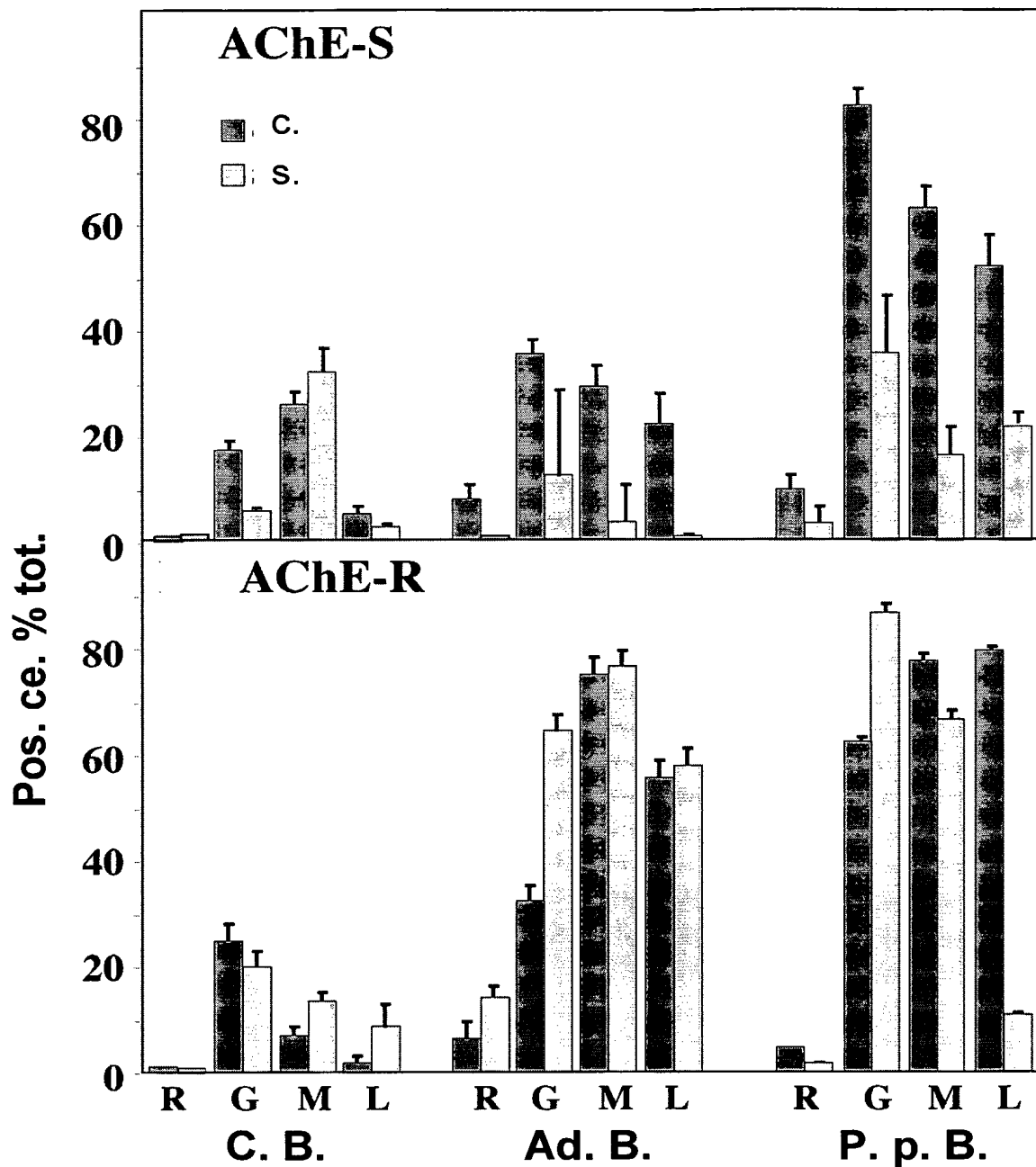


Fig. 5B

6/26

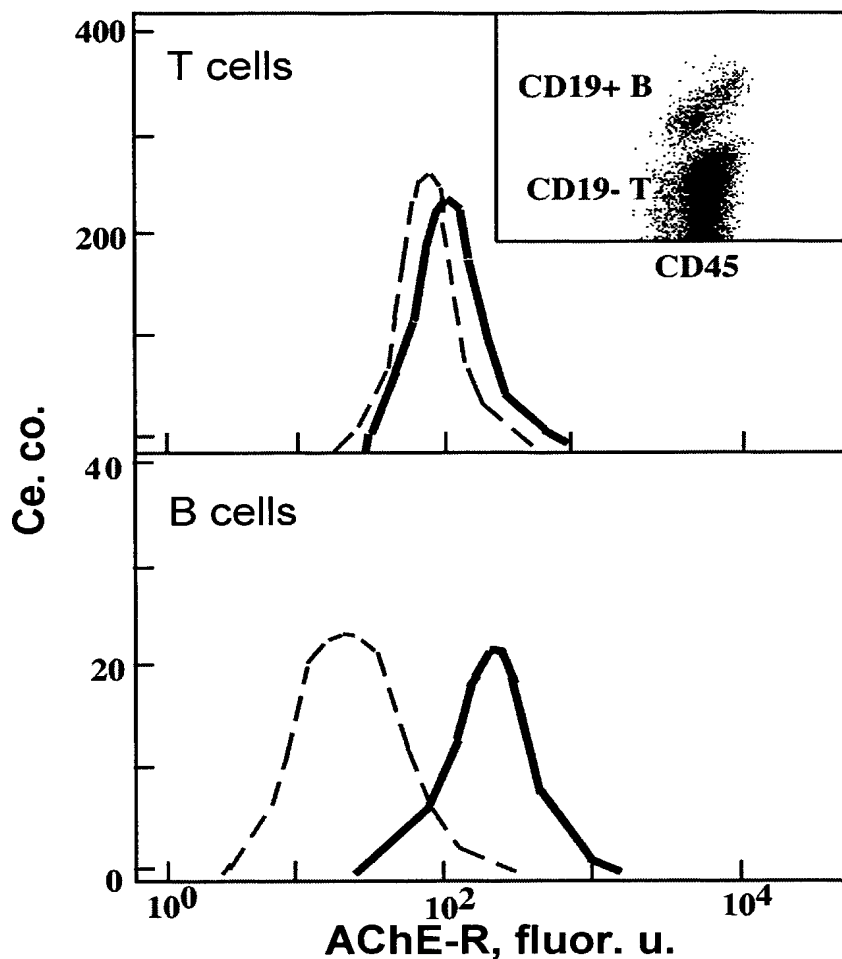


Fig. 6A

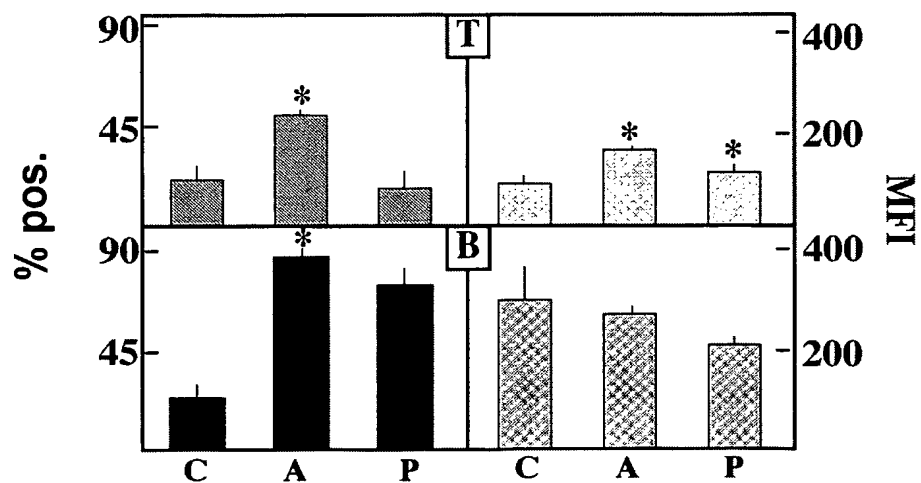


Fig. 6B

7/26

Fig. 7A

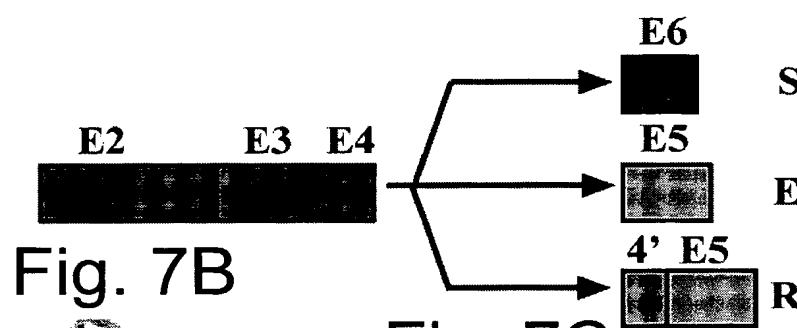
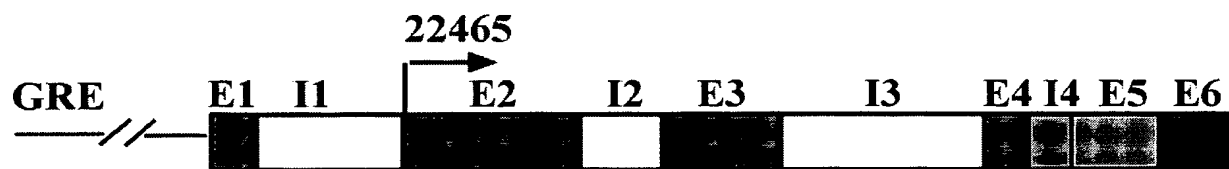


Fig. 7B

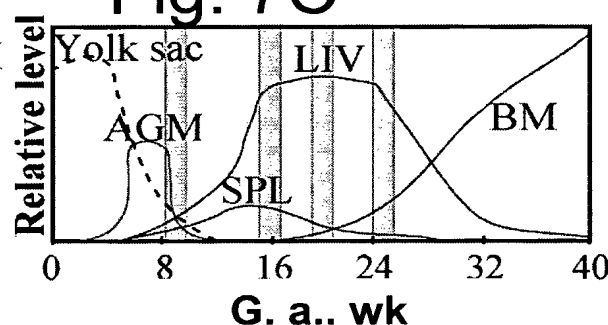
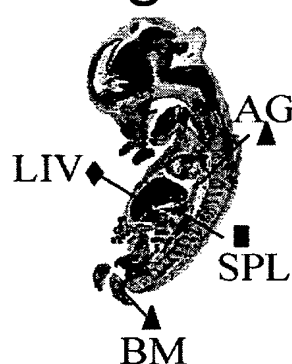


Fig. 7C

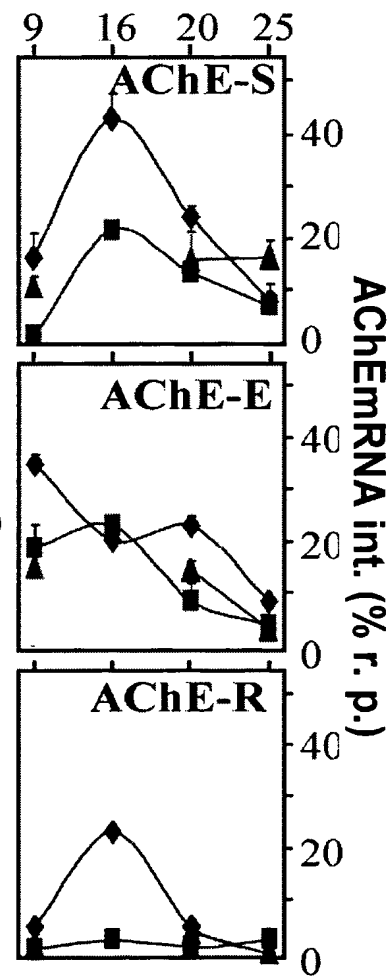
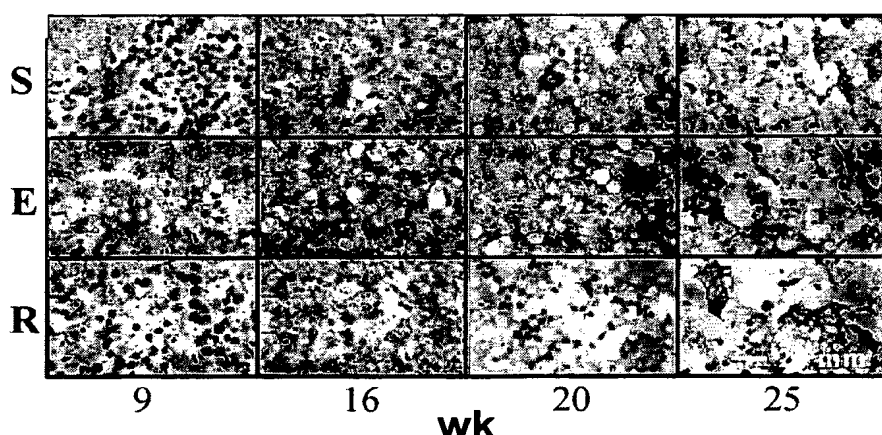


Fig. 7E

Fig. 7D



8/26

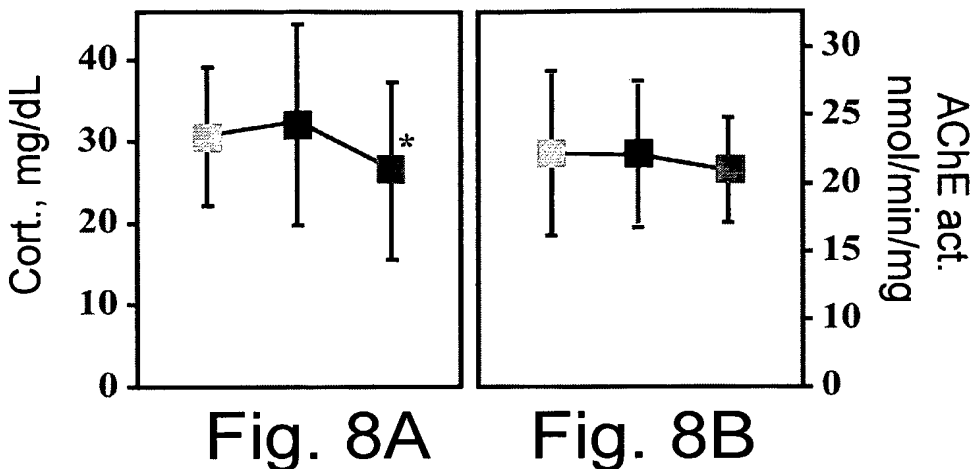


Fig. 8A

Fig. 8B

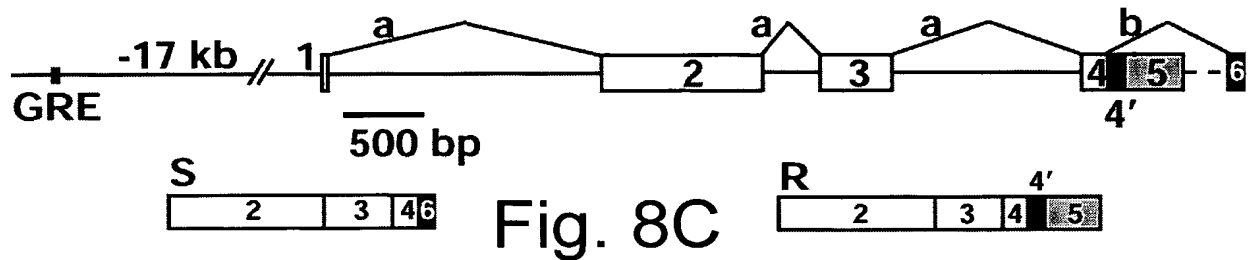


Fig. 8C

Fig. 8D

Fig. 8E

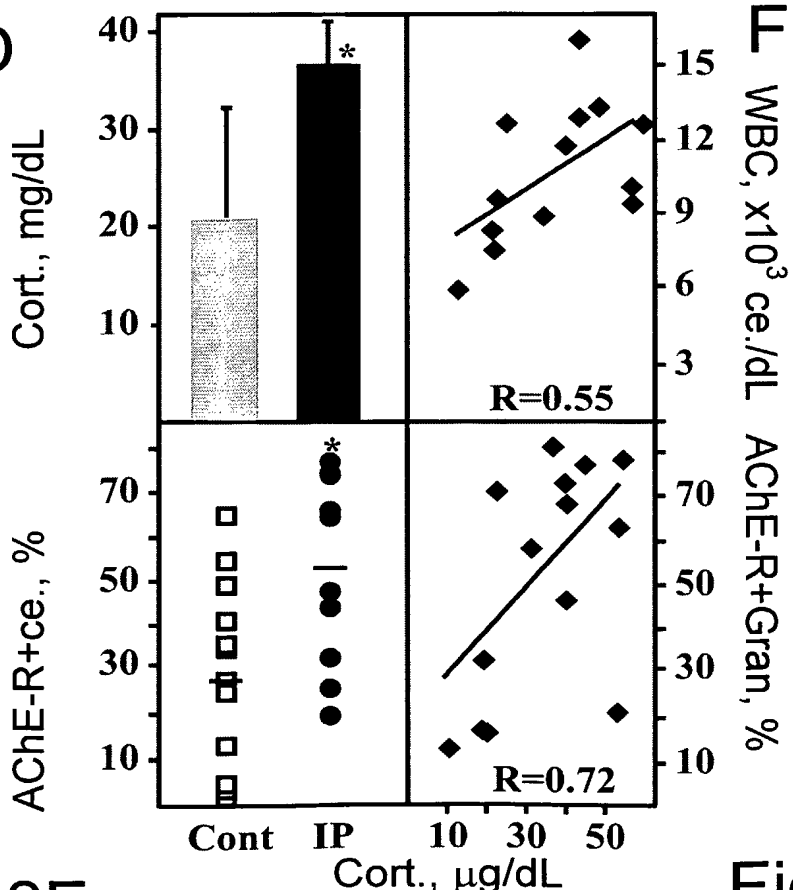


Fig. 8F

Fig. 8G

9/26

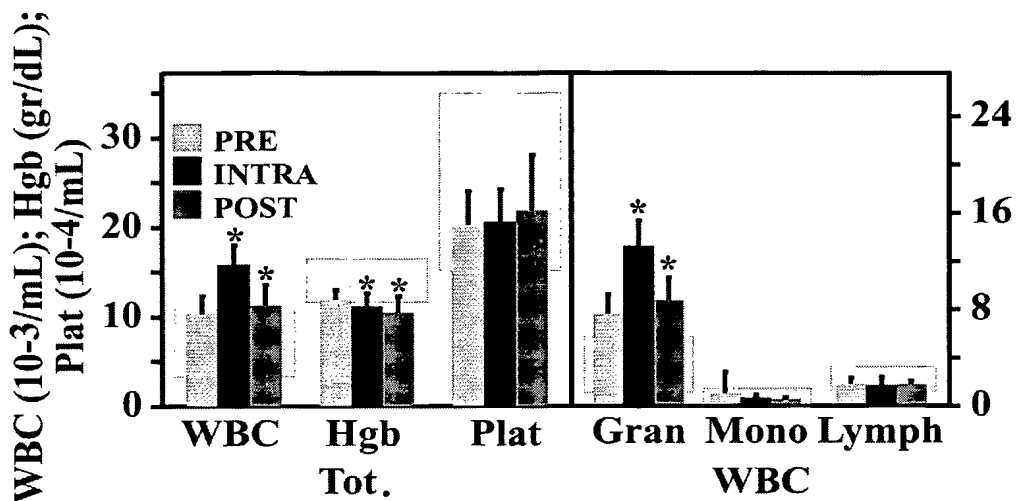


Fig. 9A

Fig. 9B

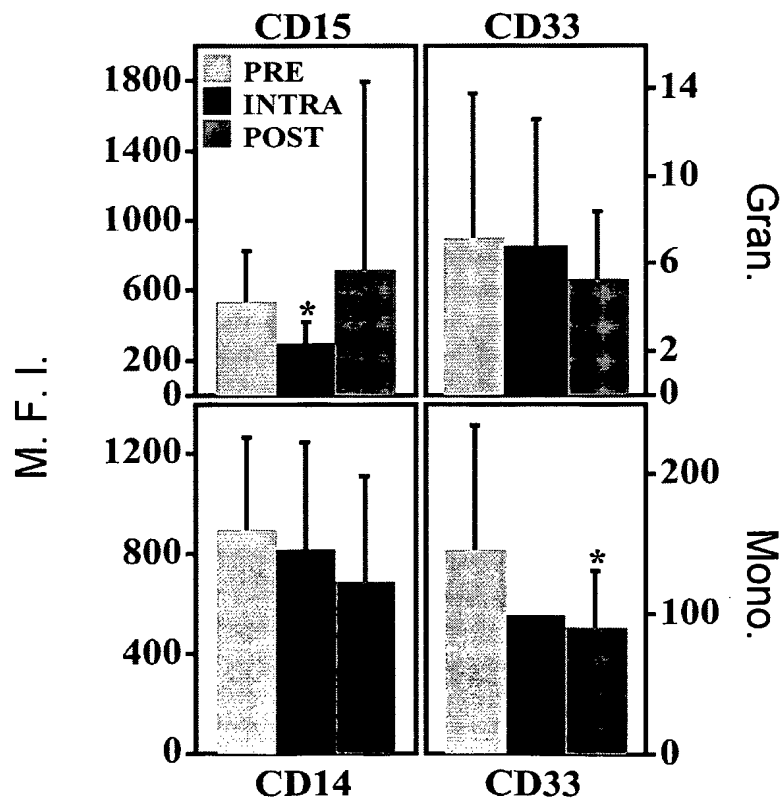


Fig. 9C

10/26

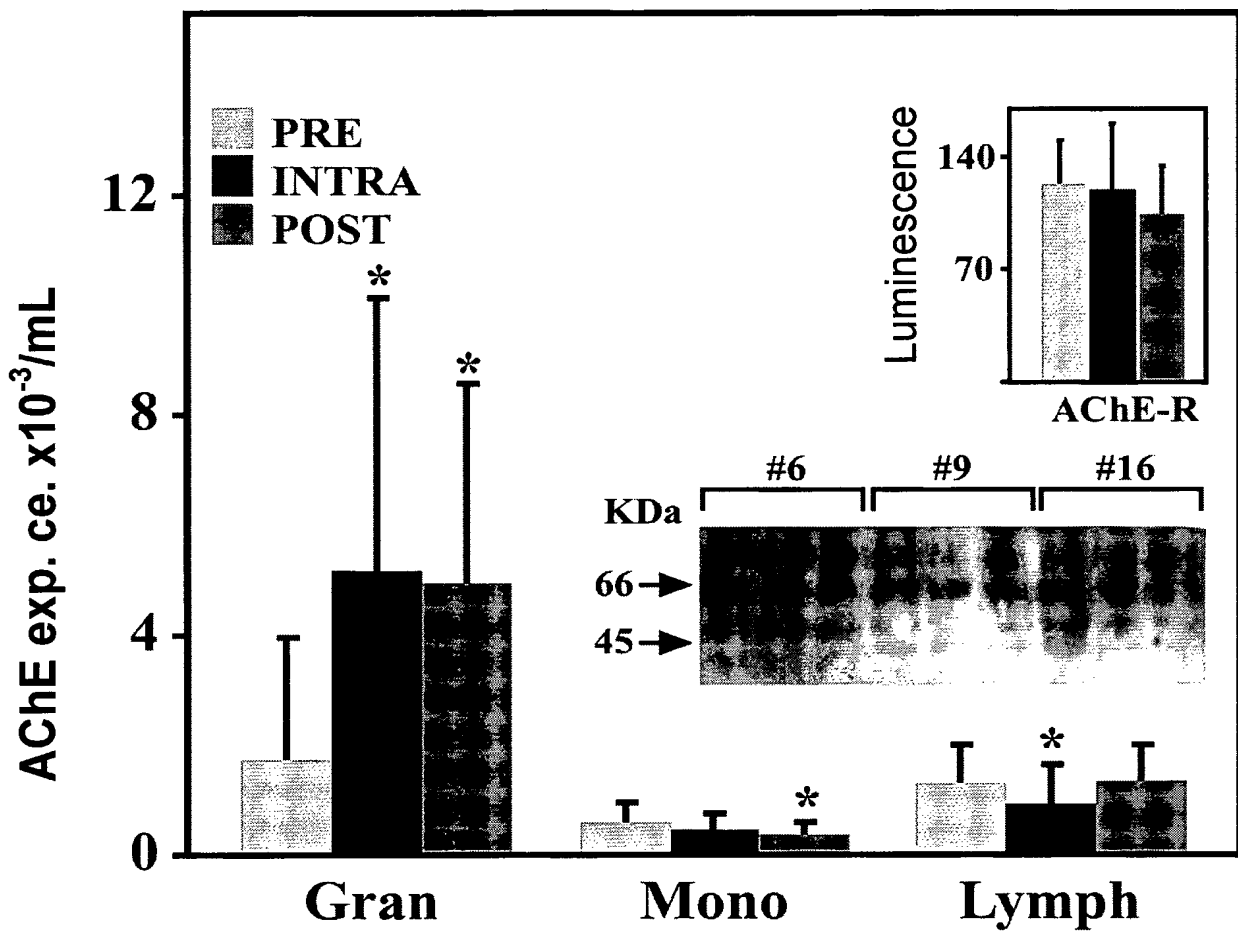


Fig. 9D

11/26

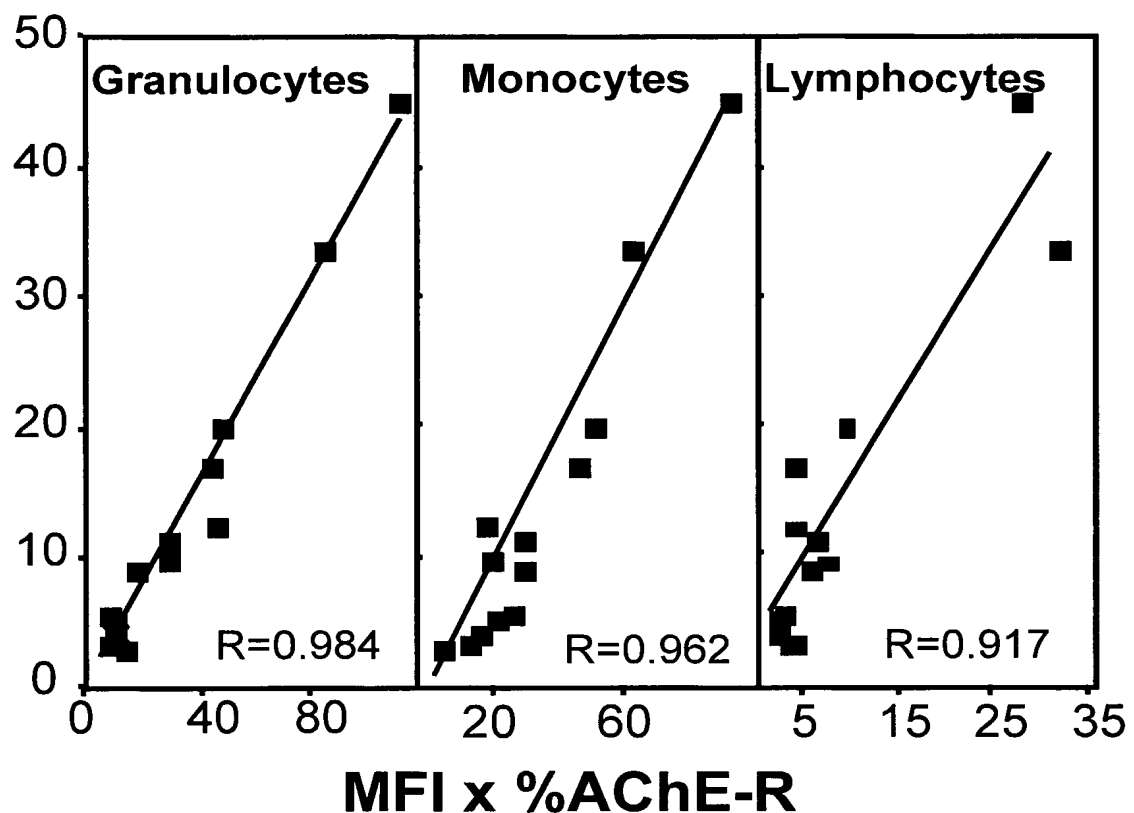


Fig. 10

12/26

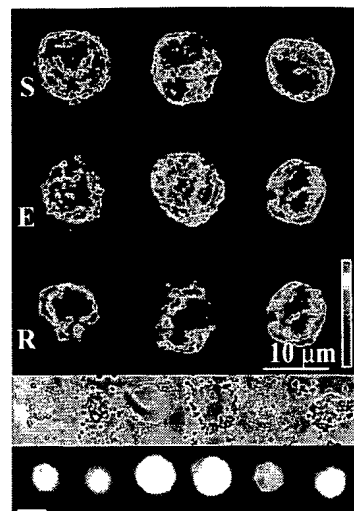
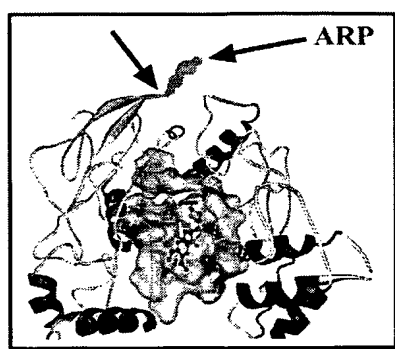


Fig. 11A

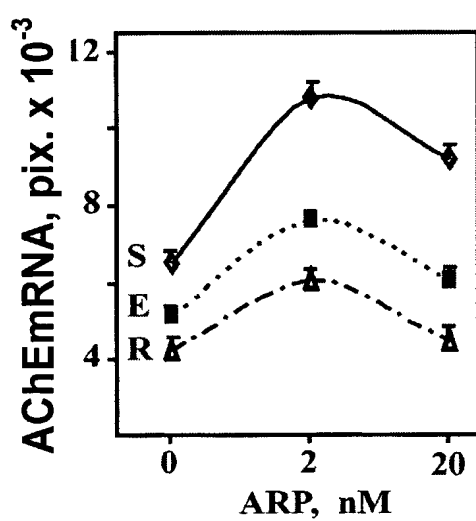
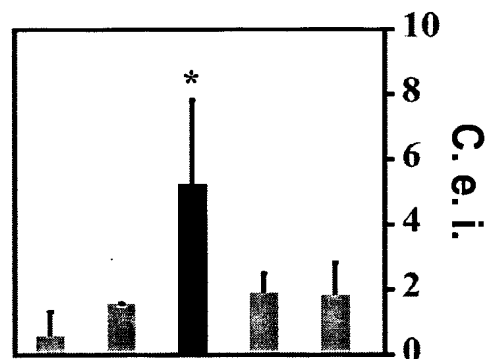


Fig. 11B



Treat.	Cortisol, 1,2 μM	+	-	-	-	-
ARP26, 2nM	-	-	+	-	-	-
ASP40, 2nM	-	-	-	-	+	-
PBAN, 2 nM	-	-	-	-	-	+

Fig. 11C

Fig. 11D

13/26

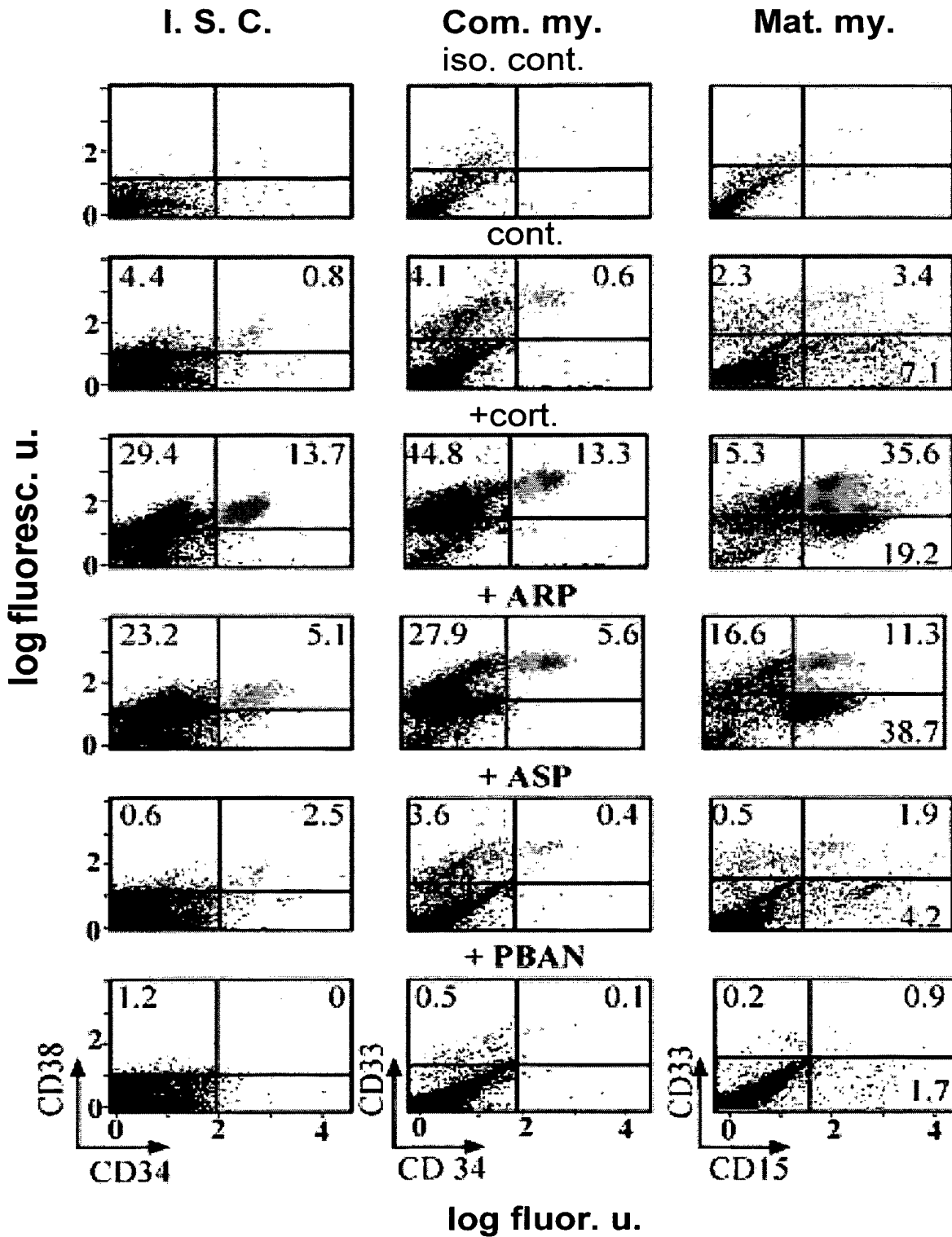


Fig. 11E

14/26

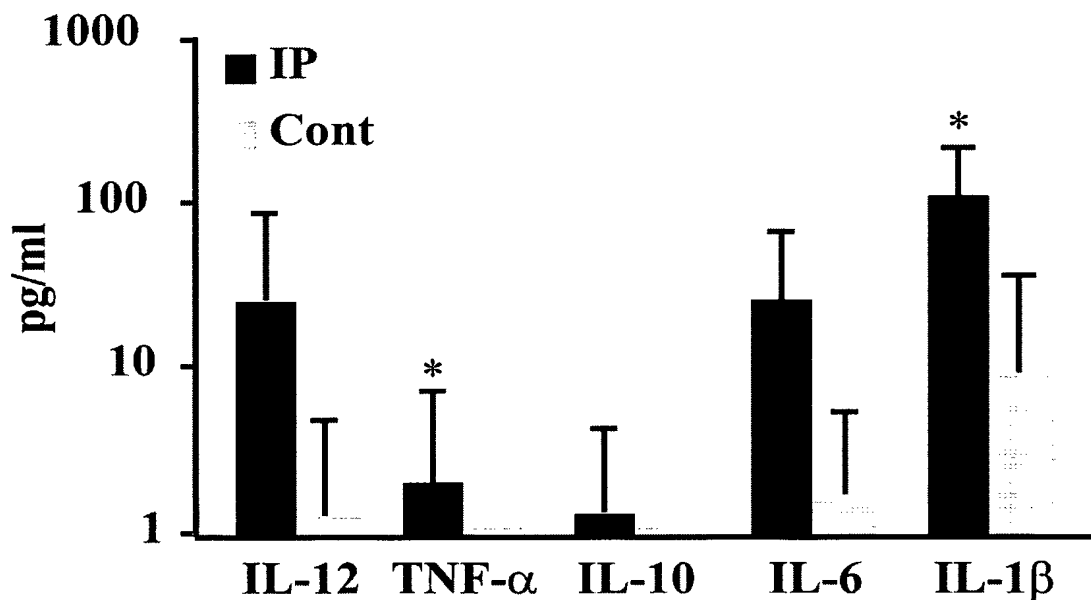


Fig. 12A

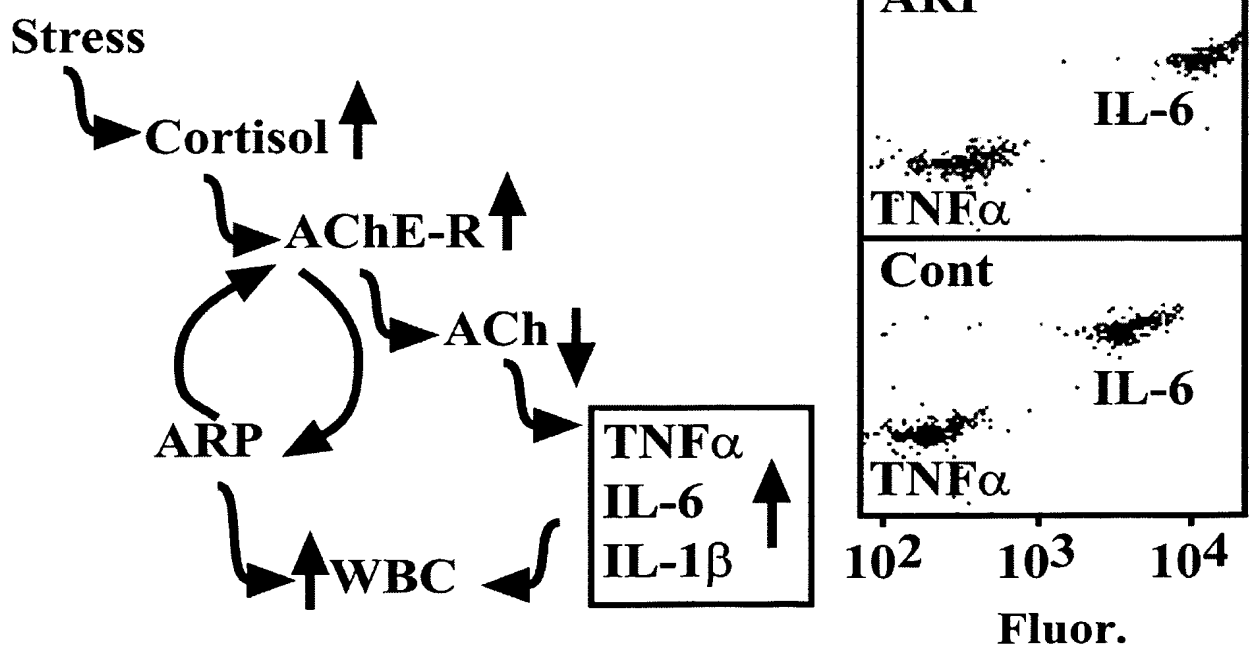


Fig. 12B

15/26

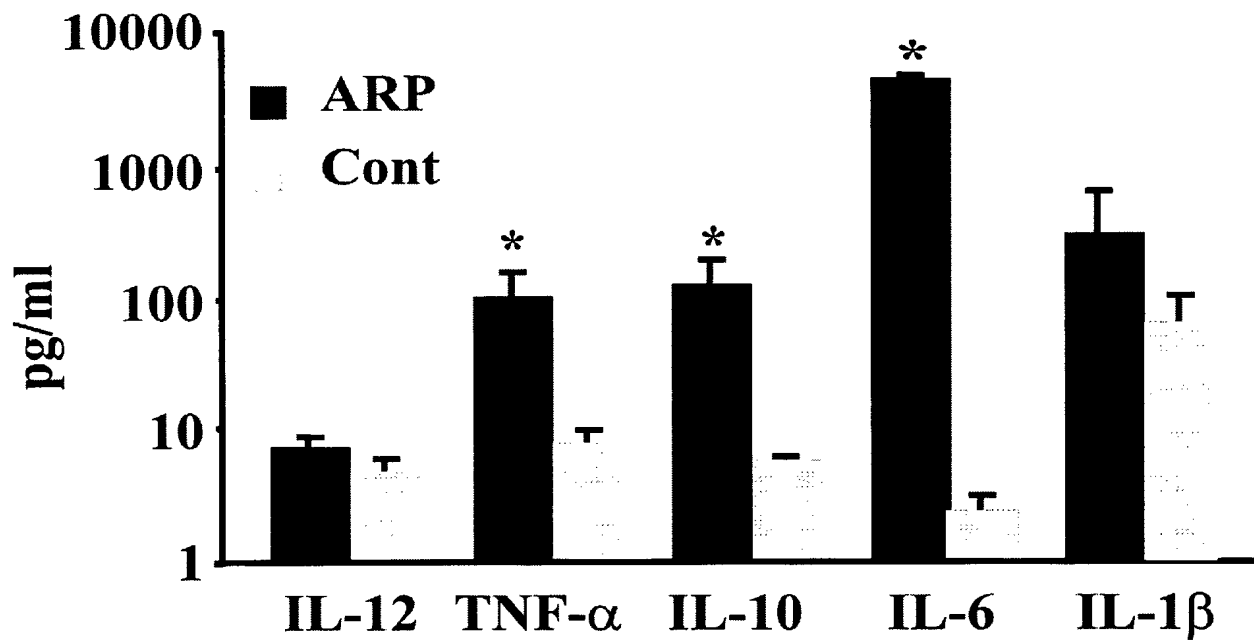


Fig. 12C

16/26

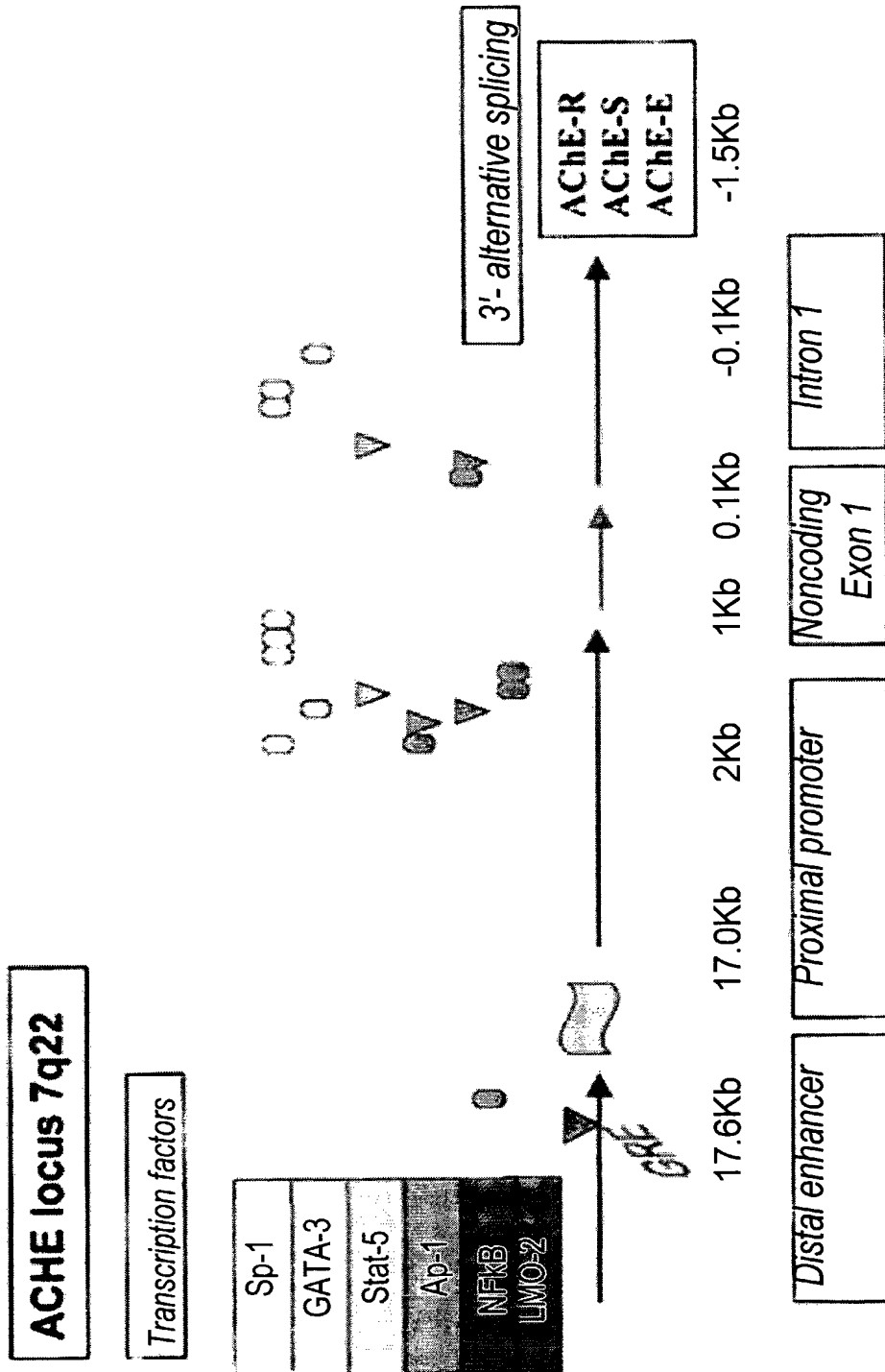


Fig. 13A

17/26

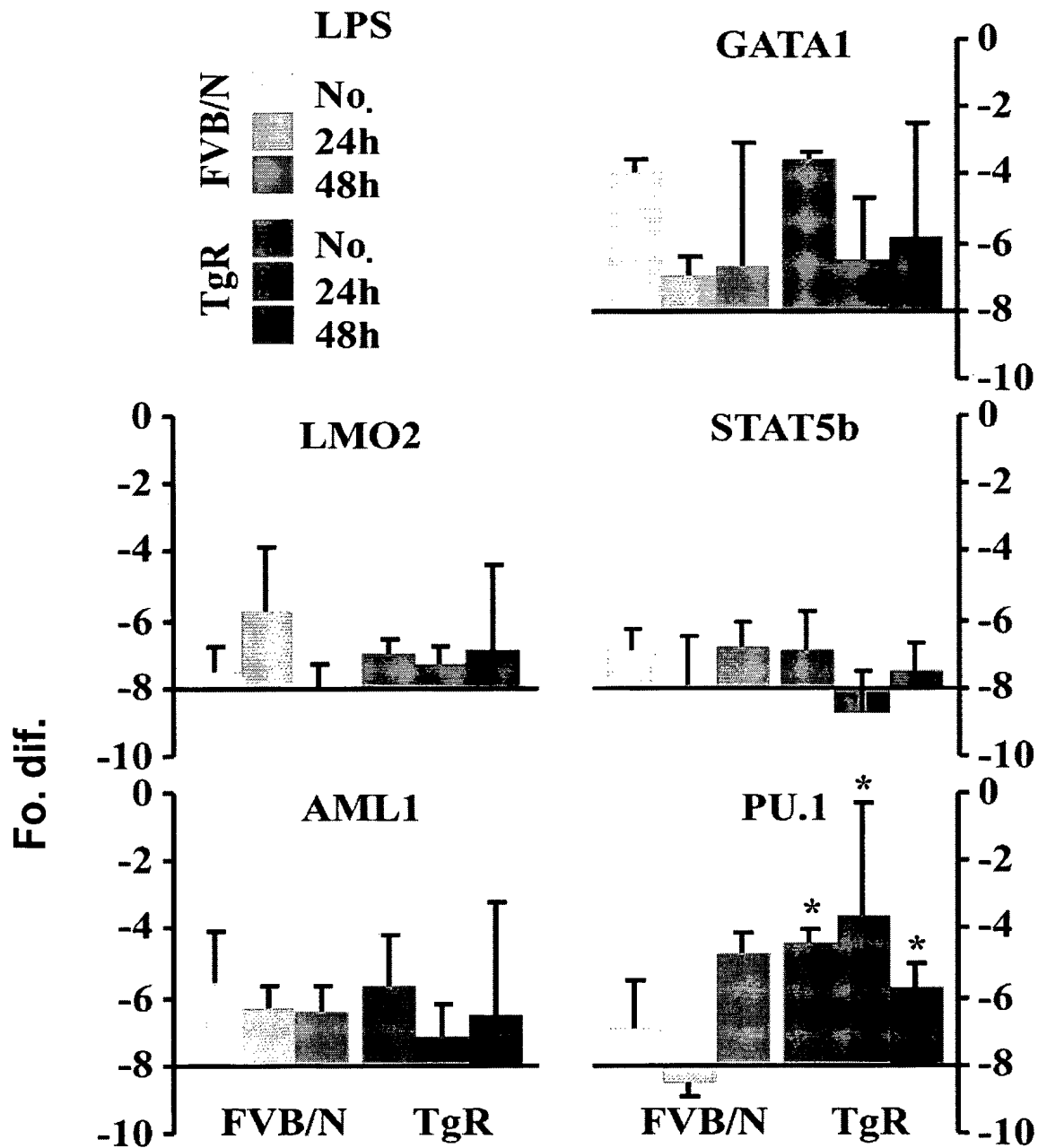


Fig. 13B

18/26

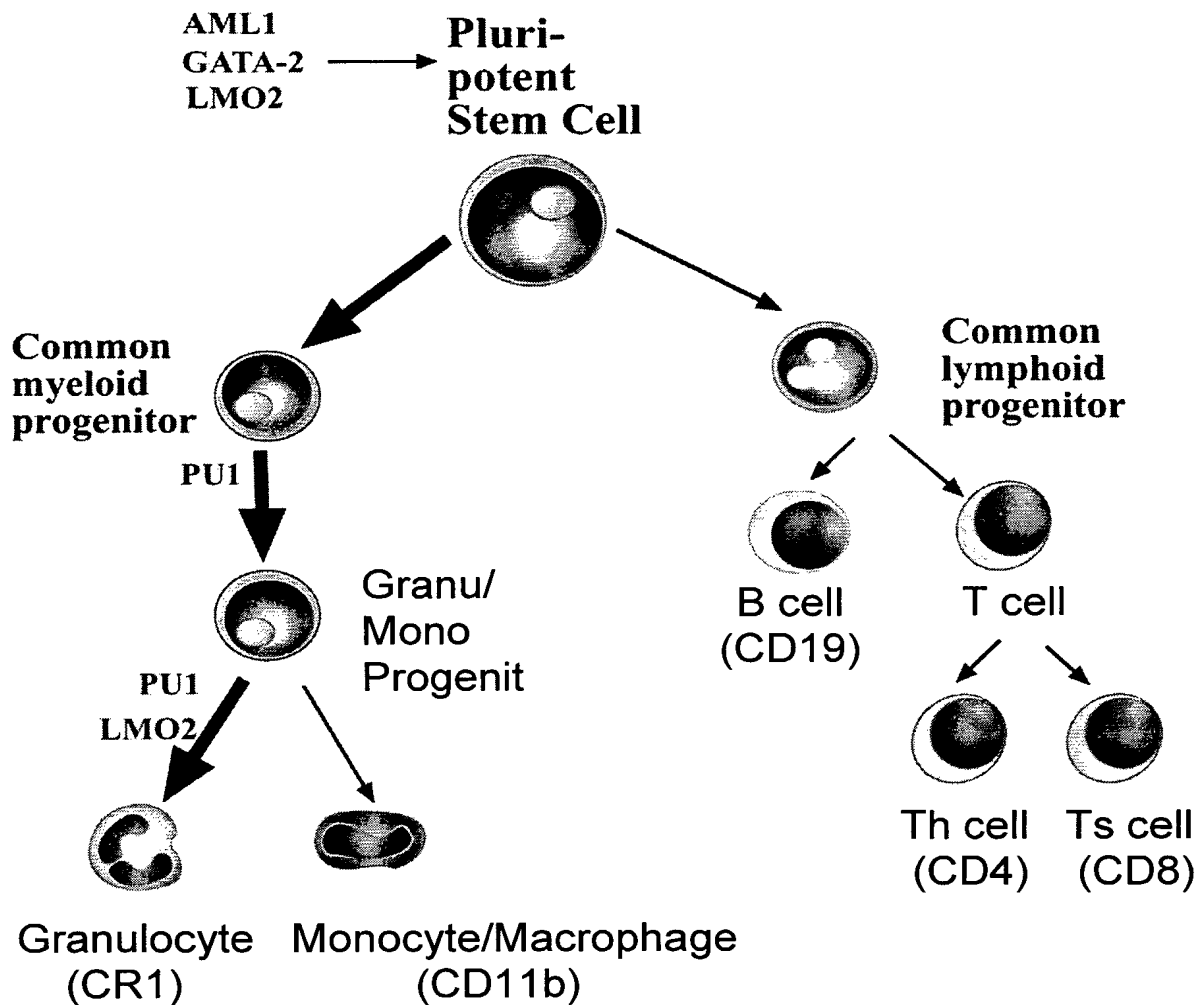


Fig. 14A

19/26

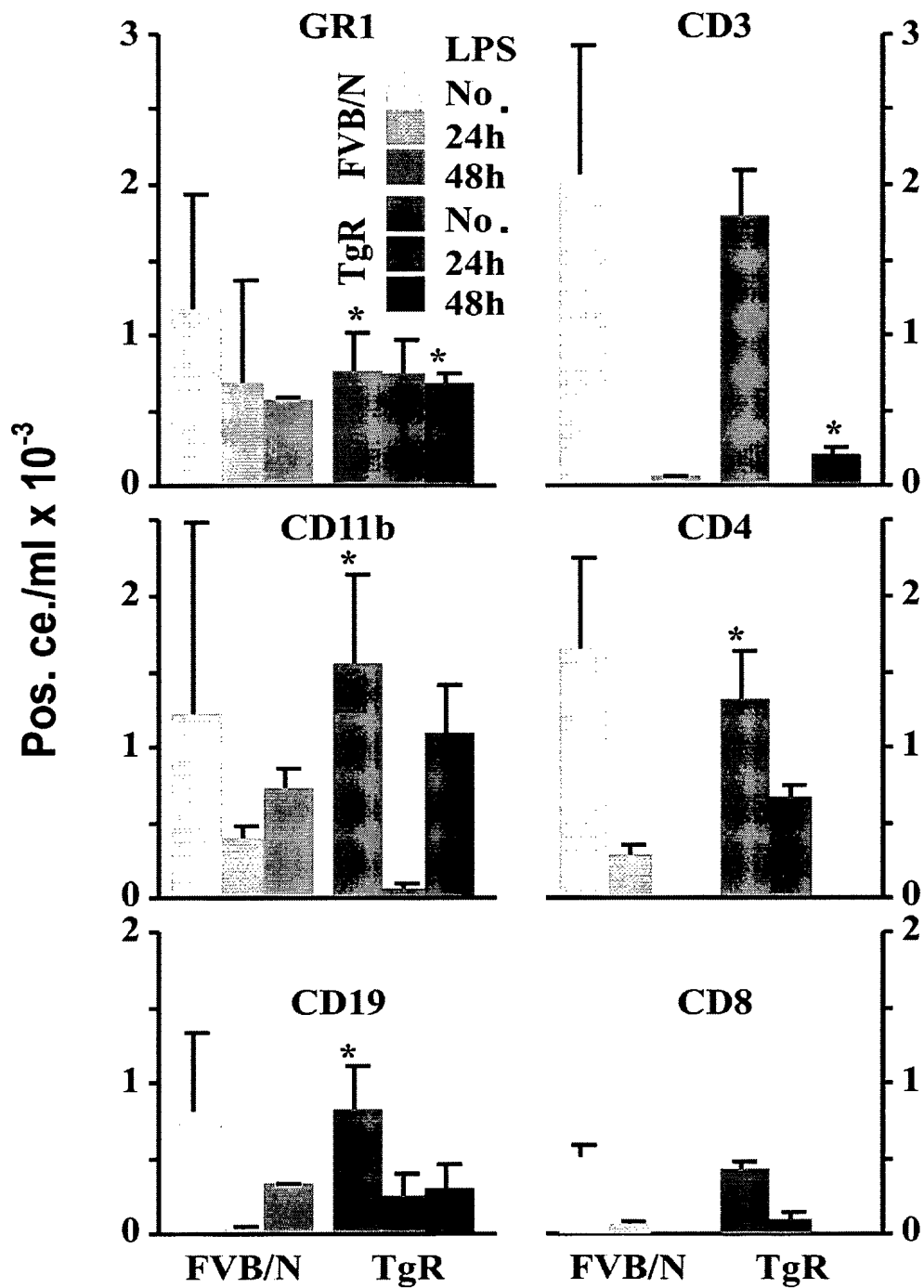


Fig. 14B

20/26

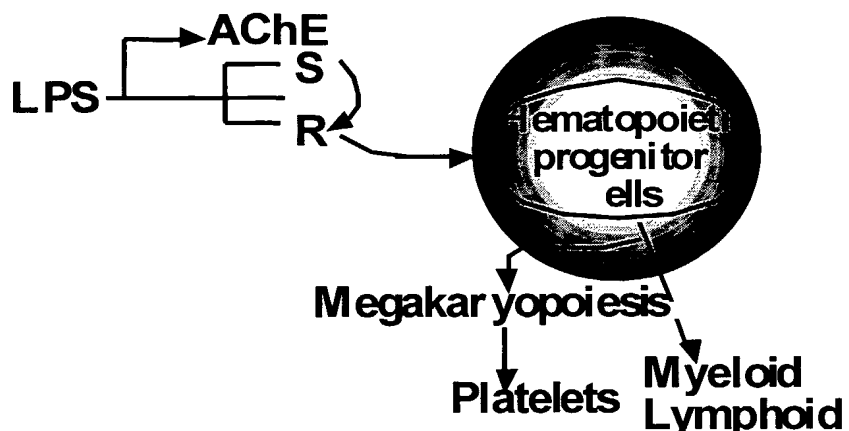


Fig. 15A

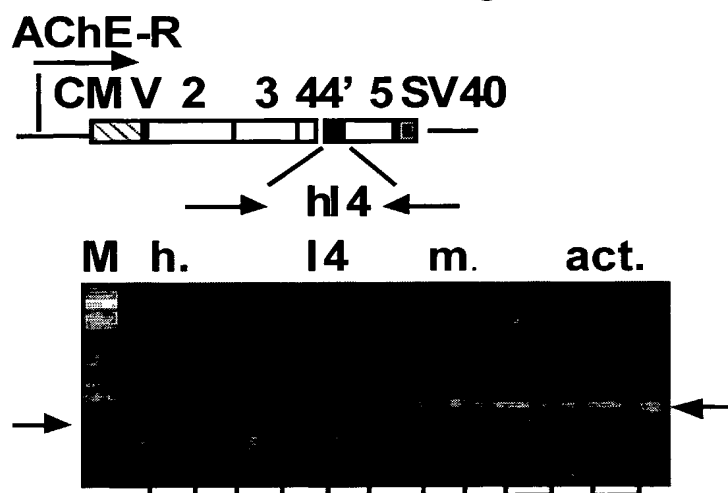


Fig. 15B

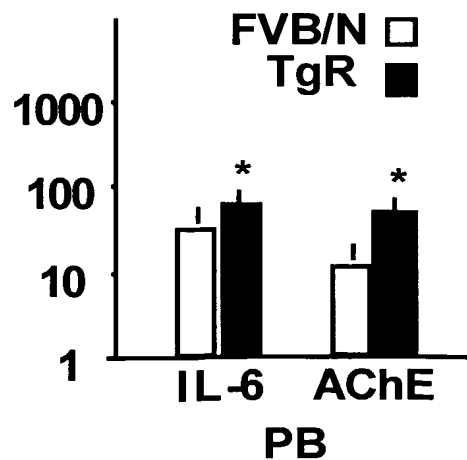


Fig. 15C

21/26

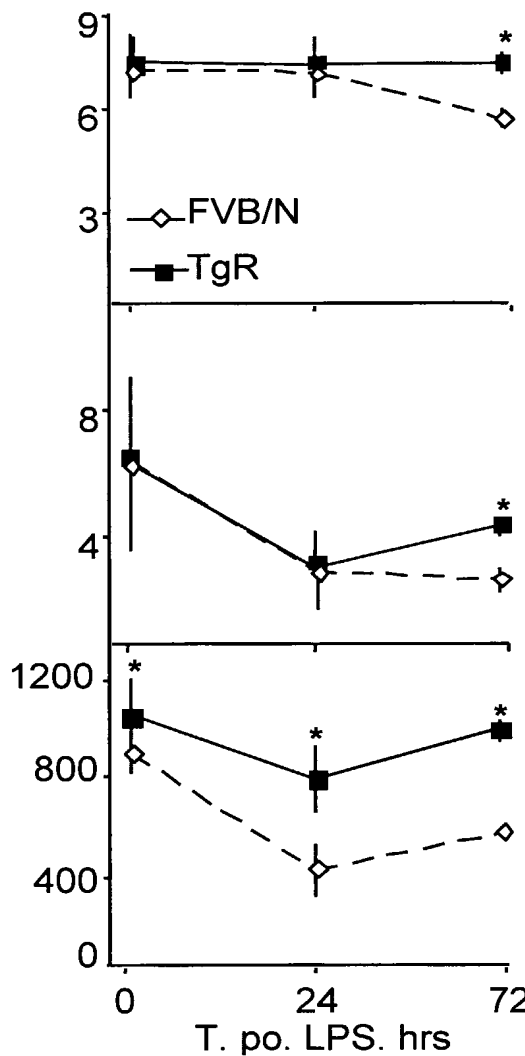


Fig. 16A

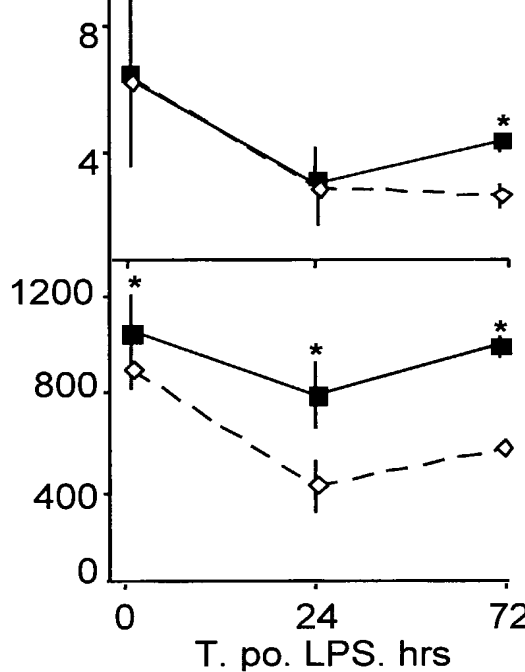


Fig. 16B

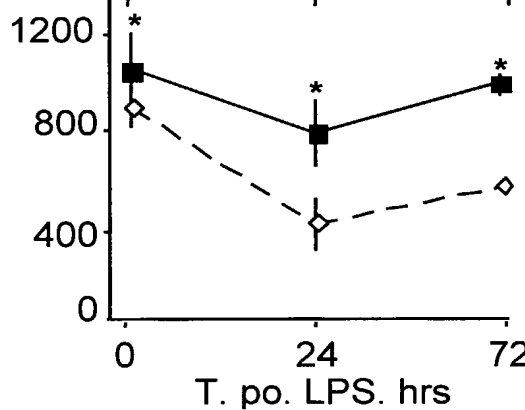


Fig. 16C

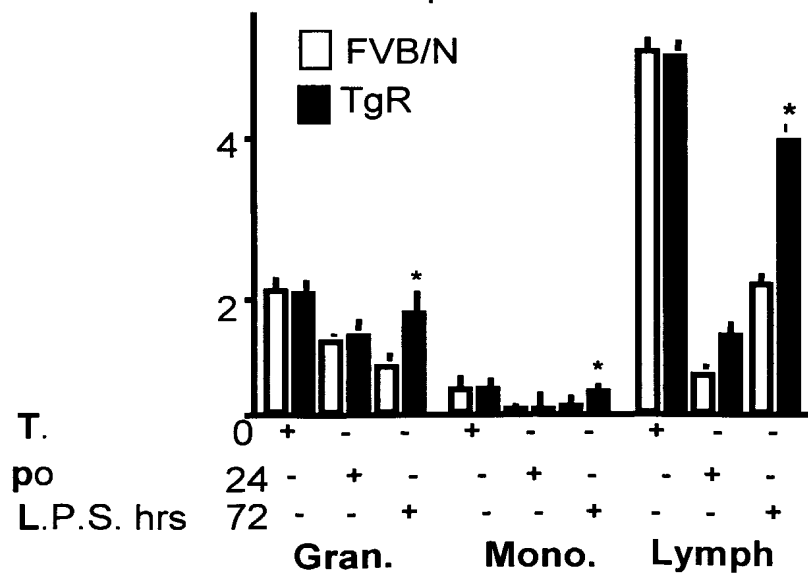


Fig. 16D

22/26

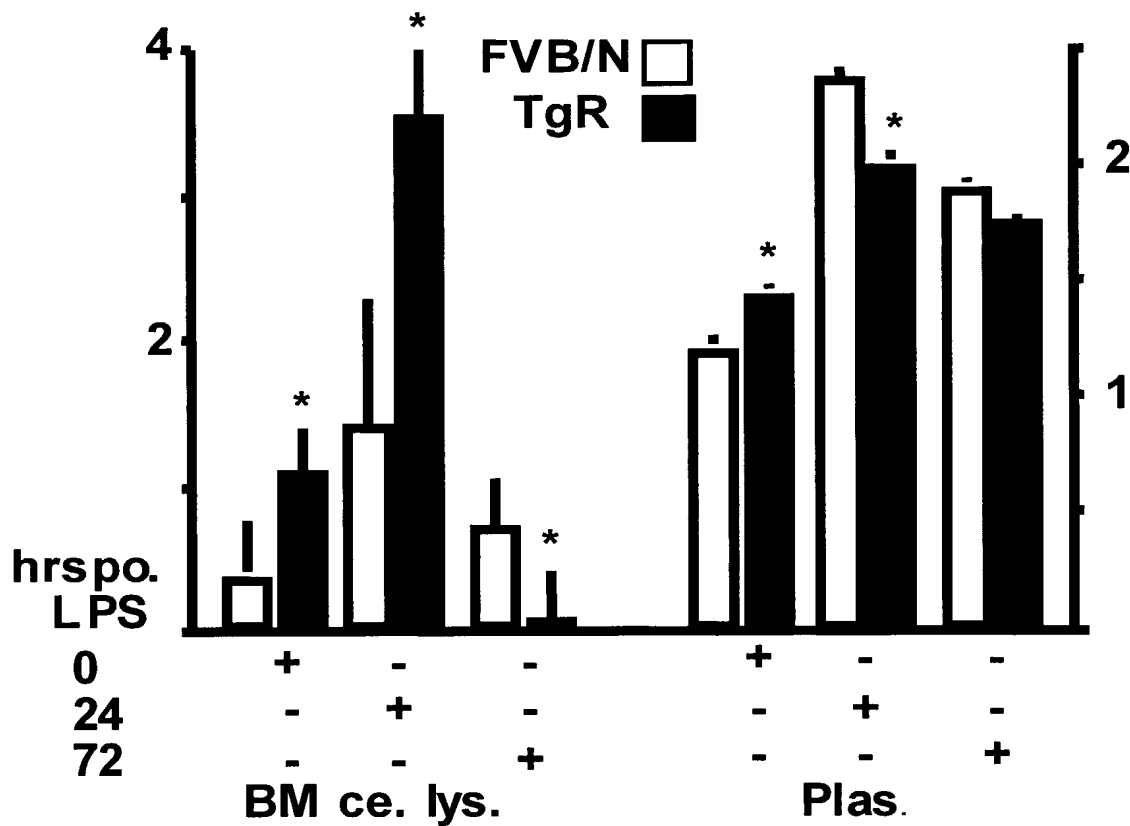


Fig. 17A

Fig. 17B

23/26

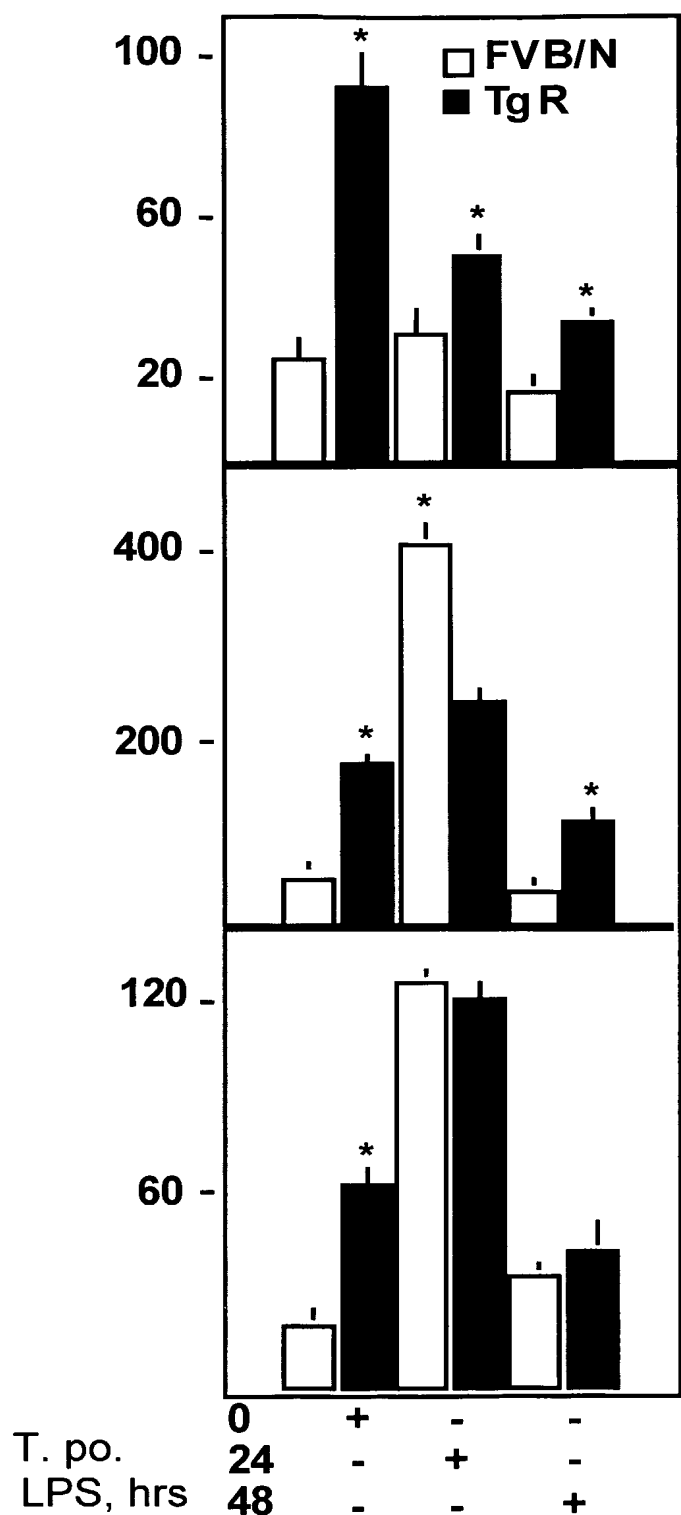


Fig. 18A

Fig. 18B

Fig. 18C

24/26

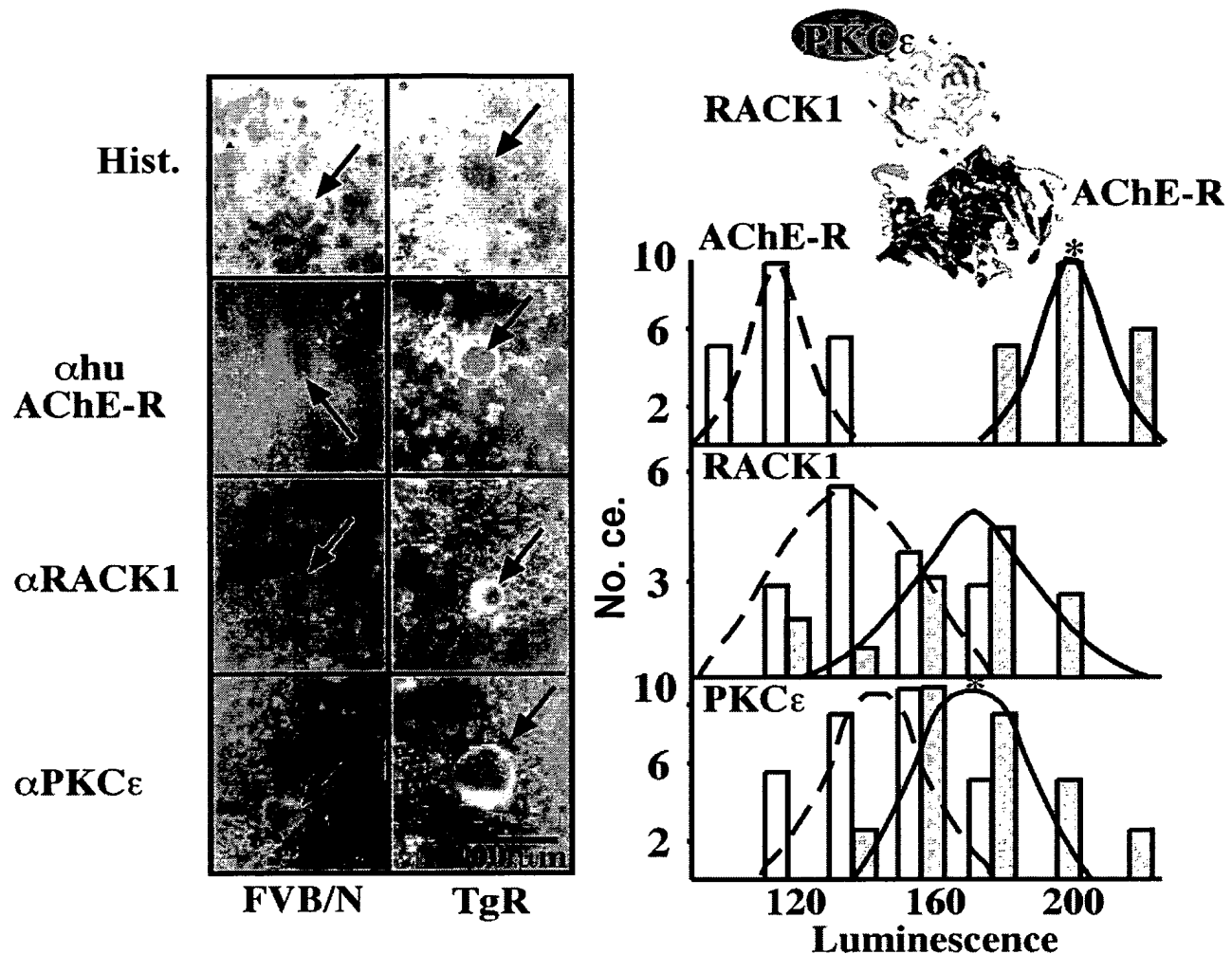


Fig. 19

25/26

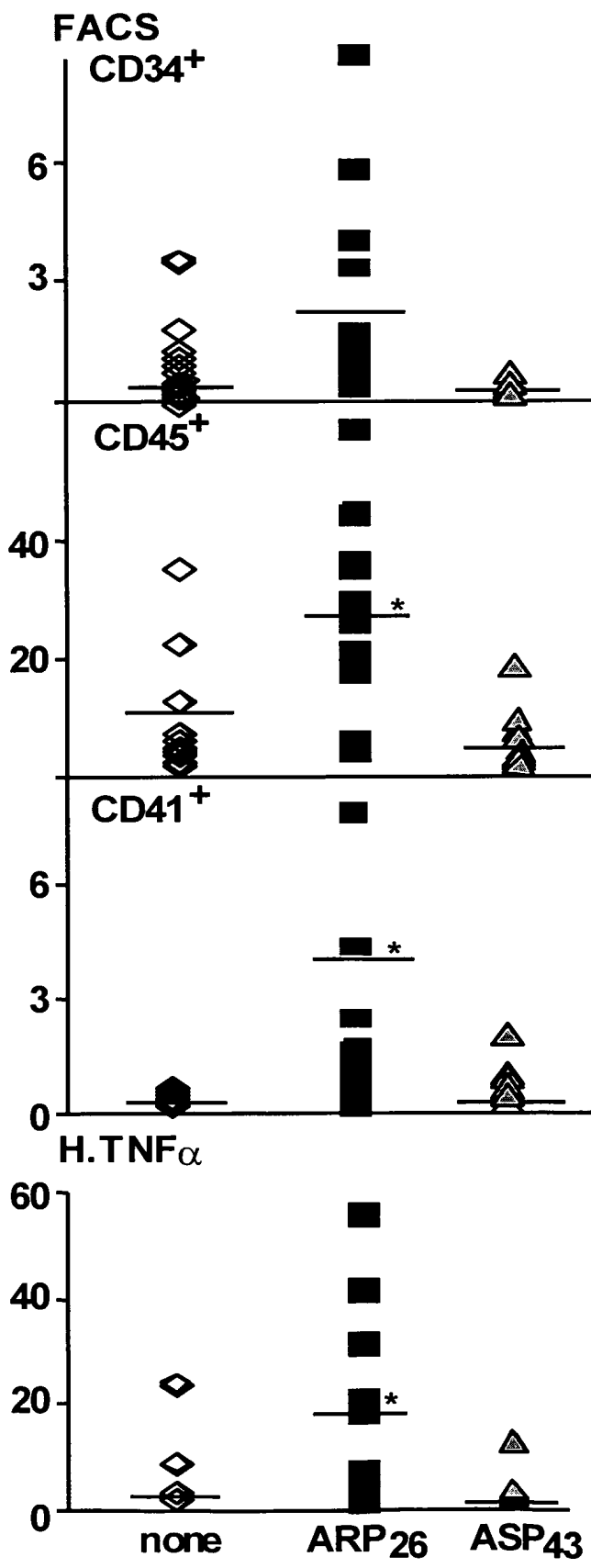


Fig. 20A

Fig. 20B

26/26

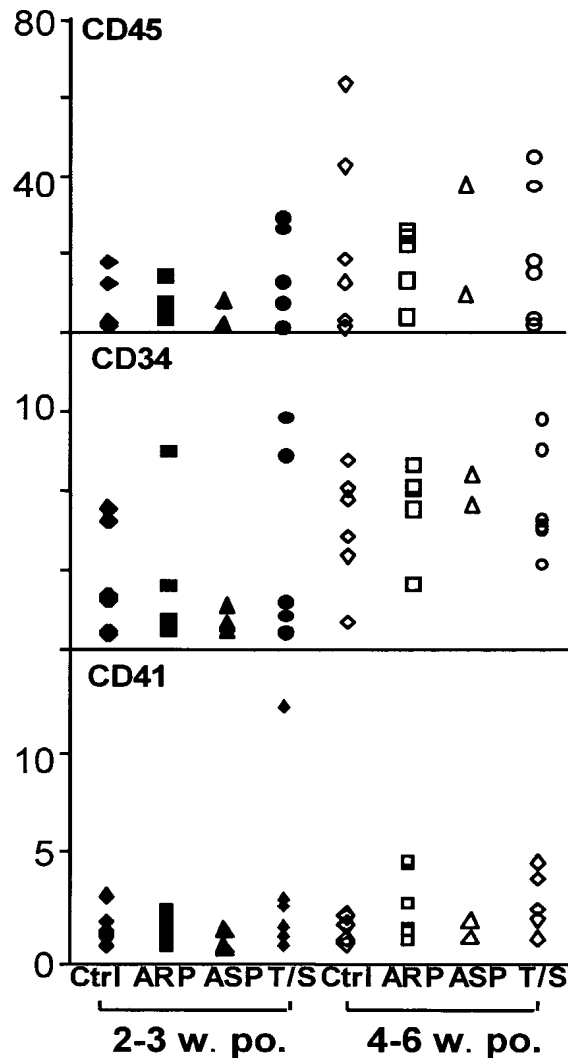


Fig. 21A

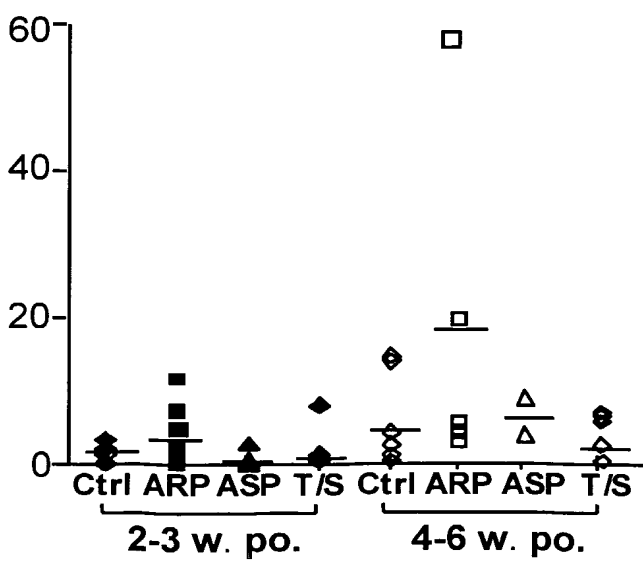


Fig. 21B